

高效液相色谱-蒸发光散射测定柴芩清肝方提取物中柴胡皂苷 a 的含量

付克, 王建宫, 闫广利

(黑龙江中医药大学中医药研究院, 哈尔滨 150040)

[摘要] 目的: 建立柴芩清肝方提取物中柴胡皂苷 a 的含量测定方法。方法: 采用 Diamonsil C₁₈ 柱 (4.6 mm × 200 mm, 5 μm), 以乙腈-水为流动相进行梯度洗脱, 流速 1.0 mL·min⁻¹, 蒸发光散射检测器进行检测, 漂移管温度 105 ℃, 氮气流速 2.0 L·min⁻¹。结果: 柴胡皂苷 a 进样量在 1.7 ~ 8.5 μg 与峰面积对数线性关系良好 ($r = 0.9994$), 平均回收率为 96.6%, RSD 1.8% ($n = 5$)。结论: 方法专属性强、准确、快速, 适用于柴芩清肝方提取物中柴胡皂苷 a 的含量测定。

[关键词] 高效液相色谱-蒸发光散射检测法; 柴胡皂苷 a; 柴芩清肝方提取物

[中图分类号] R284.1 **[文献标识码]** A **[文章编号]** 1005-9903(2011)02-0057-03

Determination of Saikosaponin A in Chaiquin Qinggan Formula Extract by HPLC-ELSD

FU Ke, WANG Jian-gong, YAN Guang-li

(Research Institute of Traditional Chinese Medicine, Heilongjiang University of Chinese Medicine, Harbin 150040, China)

[Abstract] **Objective:** To establish a HPLC method for the determination of saikosaponin A in the extract of Chaiquin Qinggan formula. **Method:** The column of Diamonsil C₁₈ (4.6 mm × 200 mm, 5 μm) was used. The mobile phase was acetonitrile-water with a gradient elution program with the flow rate at 1.0 mL·min⁻¹. The evaporative light scattering detector (ELSD) was used as detector. Drift tube temperature was at 105 ℃, and the gas flow rate was 2.0 L·min⁻¹. **Result:** The logarithmic calibration curves were linear in the range of 1.7~8.5 μg ($r = 0.9994$). The average recovery was 96.6% with the RSD value of 1.8% ($n = 5$). **Conclusion:** The method can be used to determine the content of saikosaponin a in the extract of Chaiquin Qinggan formula.

[Key words] HPLC-ELSD; saikosaponin a; Chaiquin Qinggan formula extract

柴芩清肝方由柴胡、黄芩、甘草、芍药等中药组成, 具有疏肝解郁、清热解毒的功效, 为临床治疗肝炎的有效方剂。方中柴胡疏肝解郁、透达郁热为君, 其中柴胡皂苷 a 是其主要活性成分, 具有抗炎、保肝、免疫调节等药理活性^[1]。为了更好地控制药品的内在质量, 保证临床疗效, 本试验采用高效液相色

谱-蒸发光散射检测法 (HPLC-ELSD) 建立了柴芩清肝方提取物种柴胡皂苷 a 的含量测定方法, 为本品质量控制提供依据。

1 材料

Waters 2695 型高效液相色谱仪、Empower 色谱工作站 (美国); 2000ES 蒸发光散射检测器 (美国 Alltech 公司; 1/10 万分析天平, 湘仪天平仪器厂)。柴胡皂苷 a 对照品 (上海融禾医药科技发展有限公司提供, 纯度大于 98%); 色谱乙腈 (Dikma 公司); 水为 Milli-Q 超纯水; 其他试剂均为分析纯。

柴芩清肝方提取物按照文献方法制备^[2]。

[收稿日期] 20100831(002)

[基金项目] 黑龙江省科技攻关项目资助 (GC08C322)

[通讯作者] 付克, 男, 副研究员, 硕士研究生导师, 研究方向:
中药及复方质量标准和新药研究, Tel: 0451-
82195914, E-mail: fuke841213@sina.com

2 方法与结果

2.1 色谱条件 Diamonsil C₁₈ 柱(4.6 mm × 200 mm, 5 μm);流动相A为乙腈,B为水,梯度洗脱,程序为0~20 min,A(40%~50%);流速1.0 mL·min⁻¹;柱温30℃;蒸发光散射检测器漂移管温度为105℃,气体流速为2.0 L·min⁻¹;进样体积20 μL。

2.2 对照品溶液制备 精密称取柴胡皂苷a对照品8.50 mg,置于25 mL量瓶中,加甲醇溶解制成0.34 g·L⁻¹的溶液。

2.3 供试品溶液制备 取本品研细,取粉末约1 g,精密称定,用5%氨水甲醇溶液(5 mL浓氨水用甲醇稀释至100 mL)30 mL回流提取30 min,过滤,残渣用5%氨水甲醇溶液少量多次洗涤,洗液一并过滤,滤液水浴蒸干,残渣加水15 mL使溶解,置于分液漏斗中,用水饱和正丁醇萃取4次,每次15 mL,合并正丁醇层,用正丁醇饱和的氨试液洗涤2次,每次30 mL,弃去氨液,正丁醇液蒸干,残渣用甲醇溶解,定容至5 mL量瓶中,摇匀,过0.45 μm微孔滤膜,即得。

2.4 阴性对照液制备 按处方比例,取去除柴胡外的其他味药材,按柴芩清肝方提取物提取工艺同法制备阴性制剂^[2],再按2.3项下方法操作,制成阴性溶液。

2.5 专属性试验 分别吸取对照品溶液、供试品溶液、阴性对照液各20 μL,注入液相色谱仪,按上述色谱条件测定,记录色谱图,见图1。结果表明,与对照品色谱相同位置上,具有相同保留时间的色谱峰,阴性液无干扰。

2.6 线性关系考察 精密吸取对照品溶液5,10,15,20,25 μL,注入高效液相色谱仪,按前述色谱条件测定,以进样量(μg)的自然对数值为纵坐标(Y),峰面积的自然对数值为横坐标(X),进行线性回归,结果回归方程为Y=1.628 3X+10.665 4,相关系数r=0.999 4。表明柴胡皂苷a在1.7~8.5 μg线性关系良好。

2.7 精密度试验 取对照品溶液,连续进样5次,每次20 μL。结果柴胡皂苷a峰面积RSD 1.2%,表明仪器精密度良好。

2.8 稳定性试验 取供试品溶液,在制备后0,1,2,4,8,12 h分别进样20 μL,柴胡皂苷a在各时间点的峰面积RSD 1.9%,表明供试品溶液在12 h内稳定。

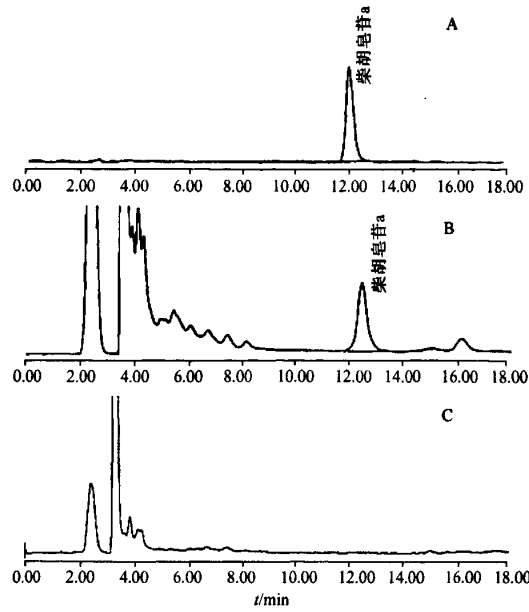


图1 柴芩清肝方提取物中柴胡皂苷a含量测定的高效液相色谱图
A. 柴胡皂苷a对照品;B. 柴芩清肝方提取物;C. 缺柴胡阴性

2.9 重现性试验 取同一批样品,按2.3项平行制备5份供试品溶液,测定柴胡皂苷a的含量,结果各样品中柴胡皂苷a的含量基本一致,平均含量为1.493 2 g·L⁻¹,RSD 2.5%,表明方法重现性较好。

2.10 加样回收率试验 精密吸取已知含量的样品粉末5份,每份约0.5 g,精密称定,置于烧瓶中,精密加入柴胡皂苷a对照品溶液2.2 mL,挥干溶剂,再加入5%氨水甲醇溶液30 mL,按2.3项下方法制备成供试品溶液,外标两点法对数方程计算含量,并计算加样回收率,结果见表1。

表1 柴芩清肝方提取物中柴胡皂苷a的加样回收率

No.	取样量/g	样品含量/mg	加入量/mg	测得量/mg	回收率/%	平均值/%	RSD/%
1	0.504 3	0.753 0	0.748	1.468 2	95.6		
2	0.502 4	0.750 2	0.748	1.473 8	96.7		
3	0.503 0	0.751 1	0.748	1.459 3	94.6	96.6	1.8
4	0.507 0	0.757 1	0.748	1.480 9	96.7		
5	0.501 3	0.748 5	0.748	1.490 6	99.2		

2.11 样品测定 按供试品溶液制备项下方法制备,精密吸取20 μL注入高效液相色谱仪,记录峰面积,外标两点法对数方程计算含量,结果3批柴芩清肝方提取物中柴胡皂苷a分别为1.493 2, 1.530 3, 1.542 8 mg·g⁻¹,RSD 1.7%。

3 讨论与结论

柴胡皂苷 a 为齐墩果烷型三萜皂苷,分子结构中仅有一个双键,仅在紫外末端有较弱的吸收,因此有关柴胡皂苷 a 的 HPLC-UV 测定方法,多采用 203 nm 左右作为检测波长^[3,4]。这种方法对于柴胡单味药材中柴胡皂苷 a 的测定尚可满足,而对于中药复方的复杂化学体系来说,由于其他成分的严重紫外吸收干扰,很难获得柴胡皂苷 a 的有效检测。蒸发光散射检测器(ELSD)是一种通用检测器,其最大优越性在于能检测不含发色团的化合物,因而极大地扩宽了 HPLC 在中药及其复方制剂检测中的应用,现已在很多皂苷类成分的检测中已获得应用^[5,6],在柴胡皂苷的检测中也有报道^[7,8]。本试验对漂移管温度和气体流速进行考察,确定了本文中所采用的参数,与文献报道的检测参数设置有所不同。

柴胡皂苷 a 经酸处理易形成柴胡皂苷 b₁,后者无抗炎活性,为保护柴胡皂苷 a 不被转化,在供试品溶液制备过程中采用 5% 氨水甲醇溶液提取。

本试验采用梯度洗脱,减小了柴胡皂苷 a 峰的峰宽,使峰型尖锐,峰面积测定准确。

【参考文献】

- [1] 吴明芳. 中药柴胡中的有效成分及其药理作用研究进

展[J]. 中华中西医学杂志,2010,8(6):32.

- [2] 付克,张坤,闫广利. 多成分评价优化柴芩清肝方提取工艺研究[J]. 中国实验方剂学杂志,2010,16(7):10.
- [3] 李媛媛,秦雪梅,王玉庆,等. 北柴胡皂苷类成分的特征(指纹)图谱研究[J]. 中国医院药学杂志,2007,27(11):1500.
- [4] 肖蓉,王春英,张志斐,等. 河北道地药材北柴胡 HPLC-UV 指纹图谱研究[J]. 中药材,2006,29(2):119.
- [5] 石威,王玉堂,权新军,等. 高效液相色谱-蒸发光散射检测法测定人参根中人参皂苷的含量[J]. 分析化学,2006,34(2):243.
- [6] 宗鸣,郭靖,王和平. 高效液相-蒸发光散射法测定解毒维康胶囊中黄芪甲苷的含量[J]. 中国实验方剂学杂志,2006,12(5):19.
- [7] 刘伟,郭蕾,范婷,等. 生长期不同施肥方法对柴胡中柴胡皂苷 a、d 含量的影响[J]. 中国实验方剂学杂志,2010,16(10):18.
- [8] 宋宏刚,许红辉,裴彩云,等. 高效液相色谱-蒸发光散射法测定柴胡中柴胡皂苷 a 及柴胡皂苷 d 的含量[J]. 时珍国医国药,2006,17(10):1963.

〔责任编辑 顾雪竹〕

a 的含量

作者: 付克, 王建宫, 闫广利, FU Ke, WANG Jian-gong, YAN Guang-li
作者单位: 黑龙江中医药大学中医药研究院, 哈尔滨, 150040
刊名: 中国实验方剂学杂志 [ISTIC PKU]
英文刊名: CHINESE JOURNAL OF EXPERIMENTAL TRADITIONAL MEDICAL FORMULAE
年, 卷(期): 2011, 17 (2)

参考文献(16条)

1. 宋宏刚;许红辉;裴彩云 高效液相色谱-蒸发光散射法测定柴胡中柴胡皂苷 a 及柴胡皂苷d的含量 2006(10)
2. 吴明芳 中药柴胡中的有效成分及其药理作用研究进展 2010(6)
3. 刘伟;郭蕾;范婷 生长期不同施肥方法对柴胡中柴胡皂苷 a 、d含量的影响 2010(10)
4. 付克,张坤,闫广利 多成分评价优化柴芩清肝方提取工艺研究 2010(7)
5. 宗鸣;郭靖;王和平 高效液相-蒸发光散射法测定解毒维康胶囊中黄芪甲苷的含量[期刊论文]-中国实验方剂学杂志 2006(05)
6. 李媛媛,秦雪梅,王玉庆 北柴胡皂苷类成分的特征(指纹) 图谱研究 2007(11)
7. 石威;王玉堂;权新军 高效液相色谱-蒸发光散射检测法测定人参根中人参皂苷的含量[期刊论文]-分析化学 2006(02)
8. 肖蓉,王春英,张志斐 河北道地药材北柴胡 HPLC-UV指纹图谱研究 2006(2)
9. 肖蓉;王春英;张志斐 河北道地药材北柴胡 HPLC-UV指纹图谱研究 2006(02)
10. 石威,王玉堂,权新军,白立飞,张华蓉,陈晓东,丁兰,张寒琦 高效液相色谱-蒸发光散射检测法测定人参根中人参皂苷的含量 2006(2)
11. 李媛媛;秦雪梅;王玉庆 北柴胡皂苷类成分的特征(指纹) 图谱研究 2007(11)
12. 宗鸣,郭靖,王和平 高效液相-蒸发光散射法测定解毒维康胶囊中黄芪甲苷的含量 2006(5)
13. 付克;张坤;闫广利 多成分评价优化柴芩清肝方提取工艺研究[期刊论文]-中国实验方剂学杂志 2010(07)
14. 刘伟,郭蕾,范婷 生长期不同施肥方法对柴胡中柴胡皂苷 a 、d含量的影响 2010(10)
15. 吴明芳 中药柴胡中的有效成分及其药理作用研究进展 2010(06)
16. 宋宏刚,许红辉,裴彩云 高效液相色谱-蒸发光散射法测定柴胡中柴胡皂苷 a 及柴胡皂苷d的含量 2006(10)

本文链接: http://d.g.wanfangdata.com.cn/Periodical_zgsyfjxzz201102016.aspx